

Análise estatística do algoritmo Shalvi-Weinstein

Renato Candido, Magno T. M. Silva, Vítor H. Nascimento e
Maria D. Miranda

Escola Politécnica - Universidade de São Paulo

2 de outubro de 2009

Introdução

Análise em
regime

Análise de
transitório

Conclusões

1 Introdução

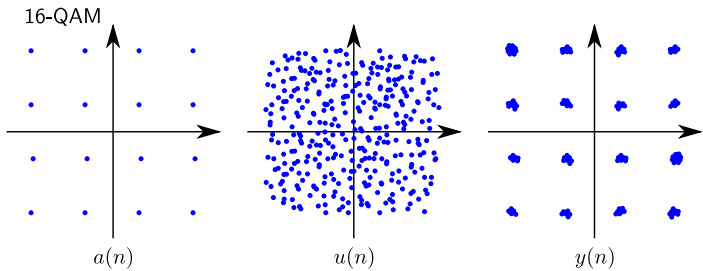
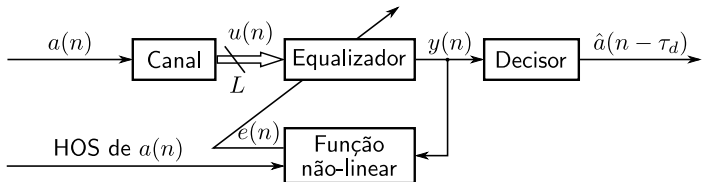
2 Análise em regime

3 Análise de transitório

4 Conclusões

O Problema da equalização

Introdução
Análise em regime
Análise de transitório
Conclusões



Algoritmo Shalvi-Weinstein (SWA)

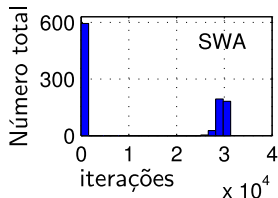
Adaptação do vetor de coeficientes

$$\mathbf{w}(n) = \mathbf{w}(n-1) + \frac{e(n)}{\bar{\gamma}} \widehat{\mathbf{R}}^{-1}(n) \mathbf{u}(n)$$

$$e(n) = [r - y^2(n)]y(n)$$

$$r = \frac{\text{E}\{a^4(n)\}}{\sigma_a^2} \quad \bar{\gamma} = 3\sigma_a^2 - r$$

Problema de divergência:



Histograma do número de divergências:
 $\mathbf{h}^T = [+0,1 +1 +0,1]$; 4-QAM;
SNR=30dB; 64 bits; $M = 11$ coefs.;
 $\lambda = 0,999$; 10^3 realizações.

Como evitar a divergência ?

M. D. Miranda, M. T. M. Silva e V. H. Nascimento. *Avoiding divergence in the Shalvi-Weinstein algorithm*. IEEE Transactions on Signal Processing, Nov. 2008

- ➊ Divergência devido à inconsistência na estimativa não-linear do sinal transmitido: $e(n) = [r - y^2(n)]y(n)$

$$\mathbf{w}(n) = \mathbf{w}(n-1) + \frac{e(n)}{\bar{\gamma}} \widehat{\mathbf{R}}^{-1} \mathbf{u}(n)$$

$$\bar{e}(n) \triangleq \frac{e(n)}{\bar{\gamma}} = d(n) - y(n)$$

$$d(n) = x(n)y(n)$$

$$x(n) = \frac{3\sigma_a^2 - y^2(n)}{\bar{\gamma}}$$

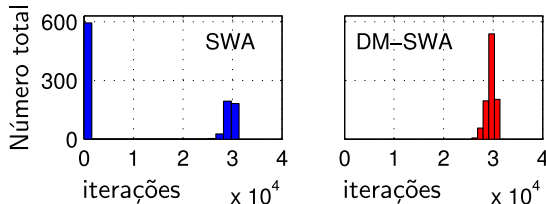
- $y(n)$ e $d(n)$ são interpretados como estimativas do sinal transmitido
- A consistência dessas estimativas é garantida se $y(n)$ e $d(n)$ tiverem o mesmo sinal $\Rightarrow x(n) > 0$

Como evitar a divergência ?

Dois modos de operação (DM-SWA)

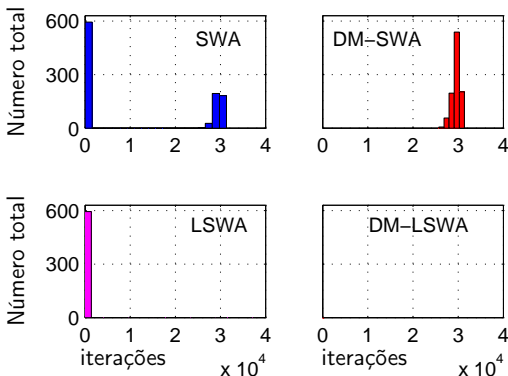
- Se as estimativas $y(n)$ e $d(n)$ forem consistentes $\Rightarrow x(n) > 0$
 - Algoritmo opera dentro da região de interesse (RI)
 - $\mathbf{w}(n) = \mathbf{w}(n - 1) + [d(n) - y(n)]\widehat{\mathbf{R}}^{-1}\mathbf{u}(n)$
- Se as estimativas $y(n)$ e $d(n)$ não forem consistentes $\Rightarrow x(n) < 0$
 - Algoritmo opera fora da RI
 - $d(n) \leftarrow 0$
 - $\mathbf{w}(n) = \mathbf{w}(n - 1) - y(n)\widehat{\mathbf{R}}^{-1}\mathbf{u}(n)$

Histograma de divergências:



Como evitar a divergência ?

- ② Divergência por causa da perda de positividade de $\widehat{\mathbf{R}}(n)$ devido à precisão numérica finita
 - Implementação em treliça (LSWA)



Histograma do número de divergências; $\mathbf{h}^T = [+0,1 +1 +0,1]$
4-QAM; SNR=30dB; 64 bits; $M = 11$ coefs.; $\lambda = 0,999$; 10^3 realizações.

Análise em regime

EMSE em regime

$$\zeta(\infty) = \lim_{n \rightarrow \infty} E\{e_a^2(n)\}$$

$$e_a(n) = \mathbf{u}^T(n) \tilde{\mathbf{w}}(n-1)$$

$$\tilde{\mathbf{w}}(n) = \mathbf{w}_o(n) - \mathbf{w}(n)$$

Introdução

Análise em regime

Análise de transitório

Conclusões

Random-walk model

$$\mathbf{w}_o(n) = \mathbf{w}_o(n-1) + \mathbf{q}(n)$$

$$\mathbf{Q} = E\{\mathbf{q}(n)\mathbf{q}^T(n)\}$$

- DM-SWA \Rightarrow Chaveamento entre os dois modos de operação
 - Análise considerando a operação dentro da RI \Rightarrow SWA
 - Análise de pior caso, considerando a operação apenas fora da RI

Análise em regime - dentro da RI

Introdução

Análise em
regime

Análise de
transitório

Conclusões

Análise do SWA baseada em:

E. Eleftheriou, D. D. Falconer. *Tracking properties and steady-state performance of RLS adaptive filter algorithms*. IEEE Transactions on Acoustics, Speech and Signal Processing, Out. 1986

Usando a teoria da independência: $\mathbf{u}(n)$ e $\tilde{\mathbf{w}}(n-1)$ são independentes:

$$\zeta(\infty) \approx \lim_{n \rightarrow \infty} E\{||\tilde{\mathbf{w}}(n-1)||_{\mathbf{R}}^2\}$$

Algumas hipóteses e aproximações

- A SNR é alta o suficiente para que $a(n - \tau_d) \approx \mathbf{u}^T(n)\mathbf{w}_o(n-1)$
- $u(n)$ gaussiano
- Em regime, $E\{\hat{\mathbf{R}}^{-1}(n)\} \approx (1 - \lambda)\mathbf{R}^{-1}$

Análise em regime - dentro da RI

EMSE em regime:

$$\zeta(\infty) \approx \frac{\sigma_{\beta}^2(1-\lambda)M\rho(\bar{\gamma})^{-2} + \text{Tr}(\mathbf{QR})/(1-\lambda)}{1+\lambda-(1-\lambda)\rho\alpha M}$$

$$\rho = \left(1 + \frac{2[1-\lambda]}{1+\lambda}\right)$$

α , σ_{β}^2 e $\bar{\gamma}$, constantes que dependem de estatísticas de $a(n)$

Para $\lambda \lesssim 1$,

$$\zeta(\infty) \approx \frac{\sigma_{\beta}^2(1-\lambda)M(\bar{\gamma})^{-2} + \text{Tr}(\mathbf{QR})/(1-\lambda)}{2},$$

que coincide com o resultado existente na literatura.

Análise em regime - fora da RI

A fim de simplificar os cálculos:

$$\zeta(\infty) \approx \lim_{n \rightarrow \infty} \text{Tr}(\mathbf{R}\mathbf{S}(n-1))$$

$$\mathbf{S}(n) \triangleq \mathbb{E}\{\tilde{\mathbf{w}}(n)\tilde{\mathbf{w}}^T(n)\}$$

Fora da RI $\Rightarrow d(n) = 0$

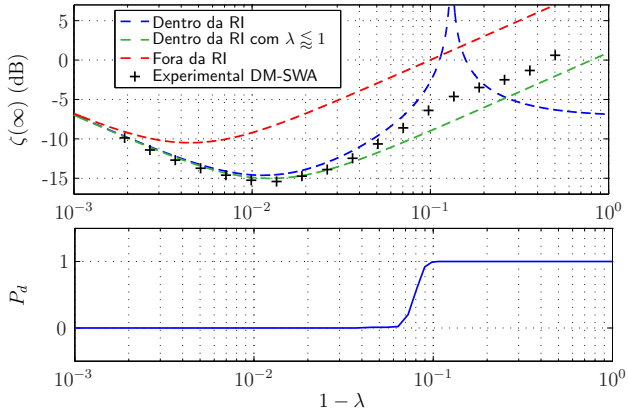
Algumas aproximações

- Em regime, $\mathbb{E}\{\hat{\mathbf{R}}^{-1}(n)\} \approx (1 - \lambda)\mathbf{R}^{-1}$
- Desconsiderado o termo $\mathbb{E}\{\mathbf{u}(n)\mathbf{u}^T(n)\tilde{\mathbf{w}}(n-1)\tilde{\mathbf{w}}^T(n-1)\mathbf{u}(n)\mathbf{u}^T(n)\}$

$$\zeta(\infty) \approx \frac{\sigma_a^2(1 - \lambda)M + \text{Tr}(\mathbf{Q}\mathbf{R})/(1 - \lambda)}{2}$$

Análise em regime - resultados de simulação

Introdução
Análise em regime
Análise de transição
Conclusões



$$\mathbf{h}^T = [+0,1 +0,3 +1,0 -0,1 +0,5 +0,2]$$

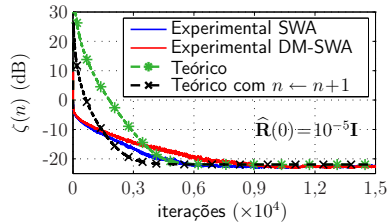
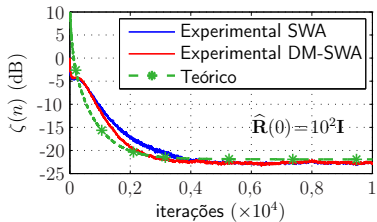
4-PAM; $M = 4$ coefs.; Sobreamostragem $L = 2$; $\widehat{\mathbf{R}}(0) = 10^2 \mathbf{I}$; $\mathbf{Q} = 10^{-4} \mathbf{R}$

Análise de transitório

EMSE num instante n : $\zeta(n) = \text{Tr}(\mathbf{R}\mathbf{S}(n)) \quad \mathbf{S}(n) \triangleq \mathbb{E}\{\tilde{\mathbf{w}}(n)\tilde{\mathbf{w}}^T(n)\}$

Hipóteses

- Operação dentro da RI e caso estacionário ($\mathbf{q}(n) = \mathbf{0}$)
- $\widehat{\mathbf{R}}^{-1}(n)$ varia pouco
- Assume-se $\mathbb{E}\{\widehat{\mathbf{R}}^{-1}(n)\} \approx [\mathbb{E}\{\widehat{\mathbf{R}}(n)\}]^{-1}$
- $u(n)$ gaussiano



$$\mathbf{h}^T = [+0,1 +0,3 +1,0 -0,1 +0,5 +0,2]$$

6-PAM; $M = 4$ coefs.; Sobreamostragem $L = 2$; $\lambda = 0.999$; $\mathbf{Q} = 0$

Conclusões

Introdução
Análise em regime
Análise de transitório
Conclusões

- Resultado da análise em regime com maior precisão;
- Obtenção de um intervalo para escolha de λ ;
- Obtenção de uma faixa de valores para o EMSE em regime obtido com o DM-SWA;
- Limitação do modelo de transitório do EMSE.